



Pasto, 27 de marzo de 2026, 4:30 p.m.

## Actividad volcánica del segmento sur de Colombia

Del seguimiento de la actividad volcánica durante el mes de febrero de 2026, el **Servicio Geológico Colombiano (SGC)**, entidad adscrita al **Ministerio de Minas y Energía**, presenta el siguiente informe de la actividad de las estructuras volcánicas que conforman este segmento del país:

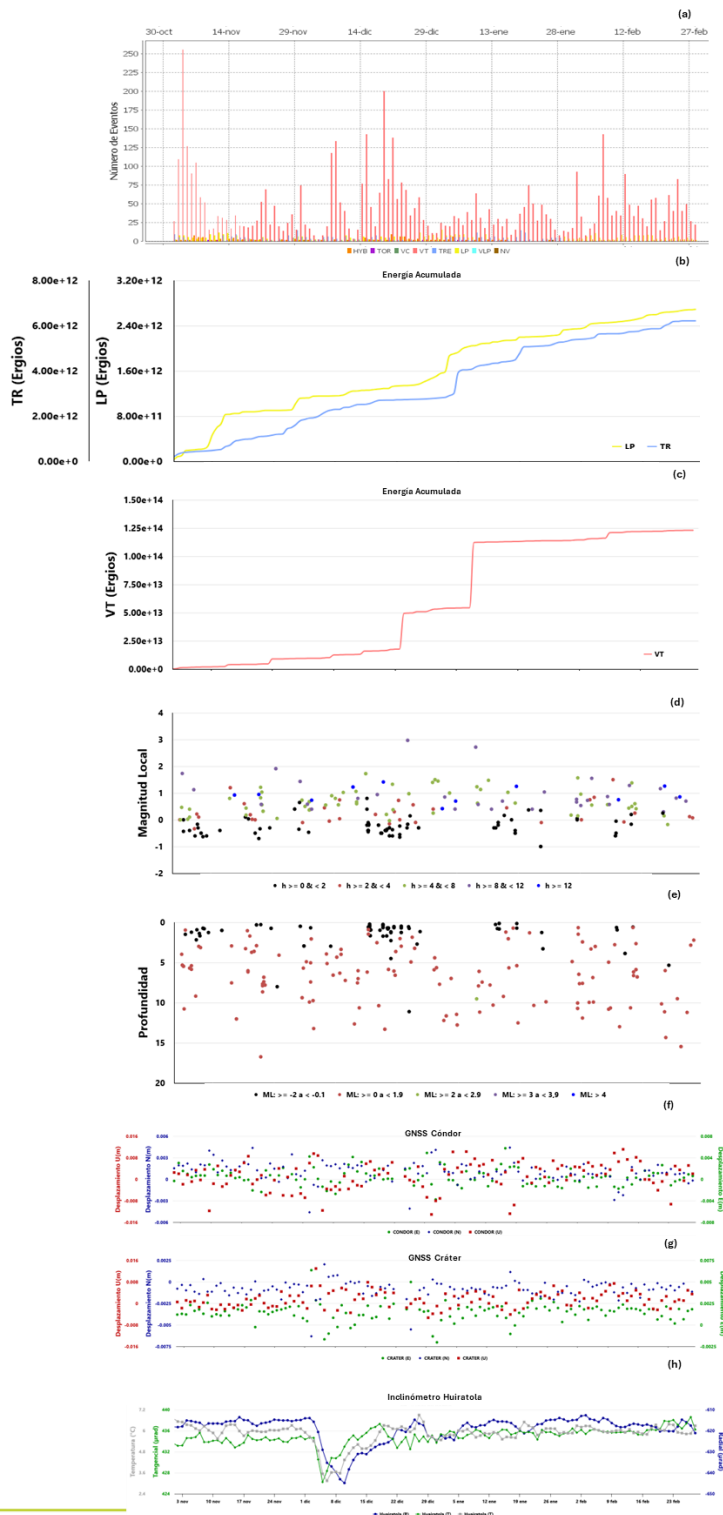
### Complejo volcánico de Galeras (CVG)

Para el mes de febrero de 2026 y, respecto al periodo anterior, el Complejo Volcánico Galeras (CVG) mostró aumento del 27% en la ocurrencia sísmica acompañado de un incremento en la energía liberada (Figura 1, Tabla 1).



En total se registraron 1501 eventos, manteniendo el predominio de la sismicidad asociada con procesos de fracturamiento de roca con 1275 eventos volcano tectónicos (VT), equivalentes al 84,9% del total, seguida por la sismicidad relacionada con movimiento transitorio de fluidos con 125 eventos (LP), equivalentes al 8,3%. La sismicidad asociada con movimiento de fluidos de fuente persistente en el tiempo (TR) correspondió a 80 eventos, equivalentes al 5,3% del total y 21 eventos clasificados como tipo híbrido (HIB) que combinan fractura de roca y movimiento transitorio de fluidos y representan el 1,4% del total. En este mes, no se presentaron eventos tipo tornillo.

El pico de ocurrencia sísmica se presentó el 7 de febrero con 142 eventos, la gran mayoría tipo VT (Figura 1a). El total de energía sísmica liberada para febrero fue de  $1,06 \times 10^{13}$  ergios (Figura 1b y 1c, Tabla 1), con el mayor aporte proveniente de los eventos VT.



**Figura 1.** Gráfica multiparámetro del volcán Galeras del 1 de noviembre del 2025 al 28 de febrero de 2026, a) histograma diario de ocurrencia sísmica b) energía liberada para los sismos LP y TR c) energía liberada para VT calculada a partir de la magnitud d) magnitud local ML e) profundidad de sismos VT (referencia 4200 m s.n.m.) f) serie temporal del GNSS Cónдор g) serie temporal del GNSS Cráter h) serie temporal del inclinómetro electrónico Huairatola.



En febrero del 2026 se localizaron 44 eventos (Figura 2), que se ubicaron en varios sectores del edificio del Complejo Volcánico Galeras (CVG). Se resalta la fuente sísmica localizada con niveles superficiales y próxima al cono activo con profundidades entre 0,1 y 9 km respecto a su cima (4200 m s.n.m.); otros eventos pequeños se localizaron hacia el nororiente del volcán, con profundidades entre 3 y 8 km y a distancia epicentral máxima de 6 km. La otra fuente sísmica resaltable correspondió a eventos que fueron localizados hacia el nororiente del CVG a una distancia epicentral máxima de 16 km del cráter y profundidades entre 6 y 10 km respecto a su cima (4200 m s.n.m.) en inmediaciones de las fallas Cauca Almaguer y Buesaco, en este sector se ubicaron dos (2) sismos con una magnitud de 1,6, registrados el 1 y 4 de febrero respectivamente. En la Figura 1d se muestran la evolución de la magnitud local en el tiempo. En general, las profundidades de los sismos fluctuaron entre 0,1 y 13,0 km respecto a la cima volcánica (Figura 1e).

**Tabla 1. Información del número de sismos y energía liberada por tipo de eventos para el CVG en los meses de enero de 2026 y febrero de 2026.**

Tipo de evento	ene-2026		feb-2026	
	No. Sismos	Energía Sísmica Liberada	No. Sismos	Energía Sísmica Liberada
VT	896	6,07 x10 <sup>13</sup>	1275	9,14 x10 <sup>12</sup>
LP	136	8,35 x10 <sup>11</sup>	125	3,48 x10 <sup>11</sup>
TO	5	1,15 x10 <sup>12</sup>	0	0
TR	120	2,64 x10 <sup>12</sup>	80	8,36 x10 <sup>11</sup>
HIB	22	4,98 x10 <sup>11</sup>	21	2,60 x10 <sup>11</sup>
VLP	0		0	
<b>Total</b>	<b>1180</b>	<b>6,59 x10<sup>13</sup></b>	<b>1501</b>	<b>1,06 x10<sup>13</sup></b>

La red de monitoreo de deformación del CVG (inclinómetros electrónicos y estaciones GNSS permanentes) sigue mostrando un comportamiento estable, similar a lo observado en los últimos años. A manera de ejemplo, en las Figuras 1f y g, se muestran las series temporales de los GNSS Cónдор y Cráter. De igual forma, en el procesamiento interferométrico adelantado con imágenes satelitales (cortesía European Space Agency – ESA (Agencia Europea del Espacio)) se evidencia estabilidad (Figura 2A). Algunas de las variaciones identificadas en los inclinómetros electrónicos están relacionadas con los cambios de temperatura imperantes en la zona (Figura 1h).

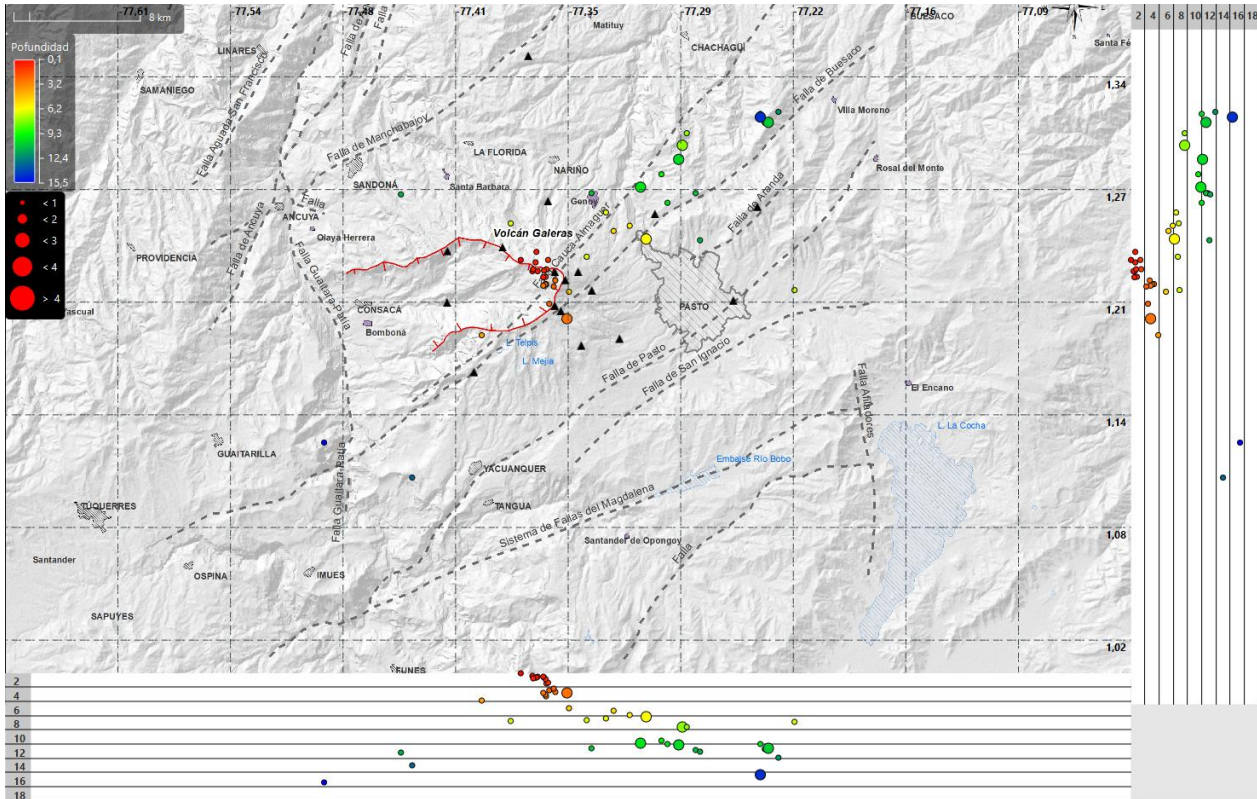


Figura 2. Mapa de la zona de influencia del CVG, los círculos representan los 44 sismos localizados en febrero de 2026 (planta y perfiles norte-sur y este-oeste), los diferentes colores se relacionan la profundidad de los sismos, siendo su mayoría eventos superficiales (rojos).

Se continuó observando columnas de emisión de gases de color blanco con poca presión de salida, baja altura y dispersión variable, dependiendo de la dirección y velocidad del viento. Los principales focos de emisión fueron desde el cráter principal y los campos fumarólicos de su periferia, principalmente Las Chavas al oeste y El Paisita al norte (Figura 3). Las termocuplas de Paisita y Deformes, localizadas en los campos fumarólicos con los mismos nombres, presentes en el cono activo, mostraron durante este periodo, un comportamiento estable con valores de temperatura cercanos a los 87 °C. y 85°C respectivamente. En muestreos de campo realizados durante este mes en los diferentes campos fumarólicos del cono activo, no se detectaron variaciones significativas respecto a los comportamientos previos.

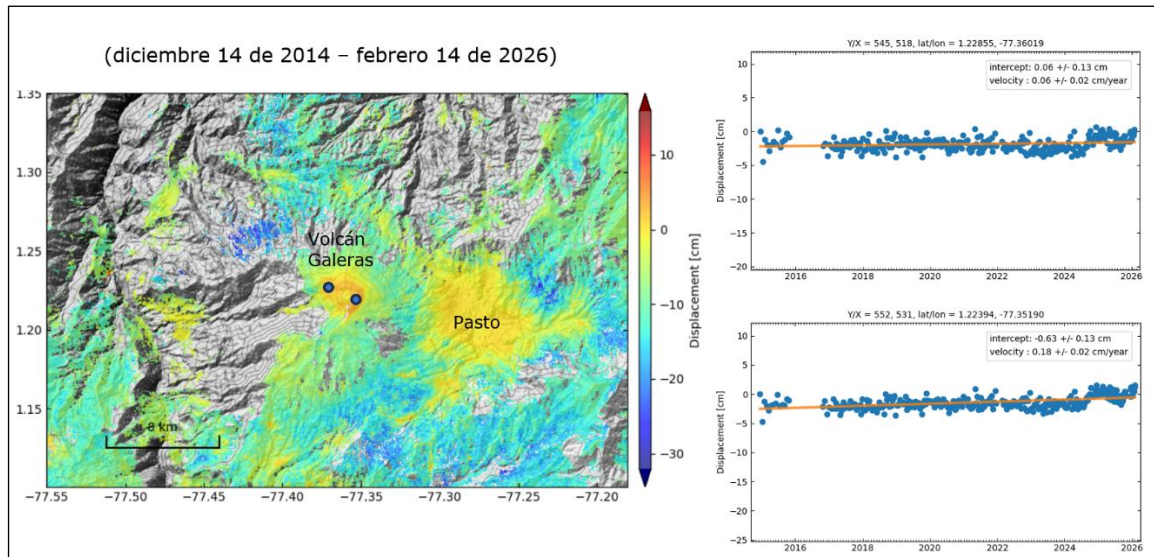
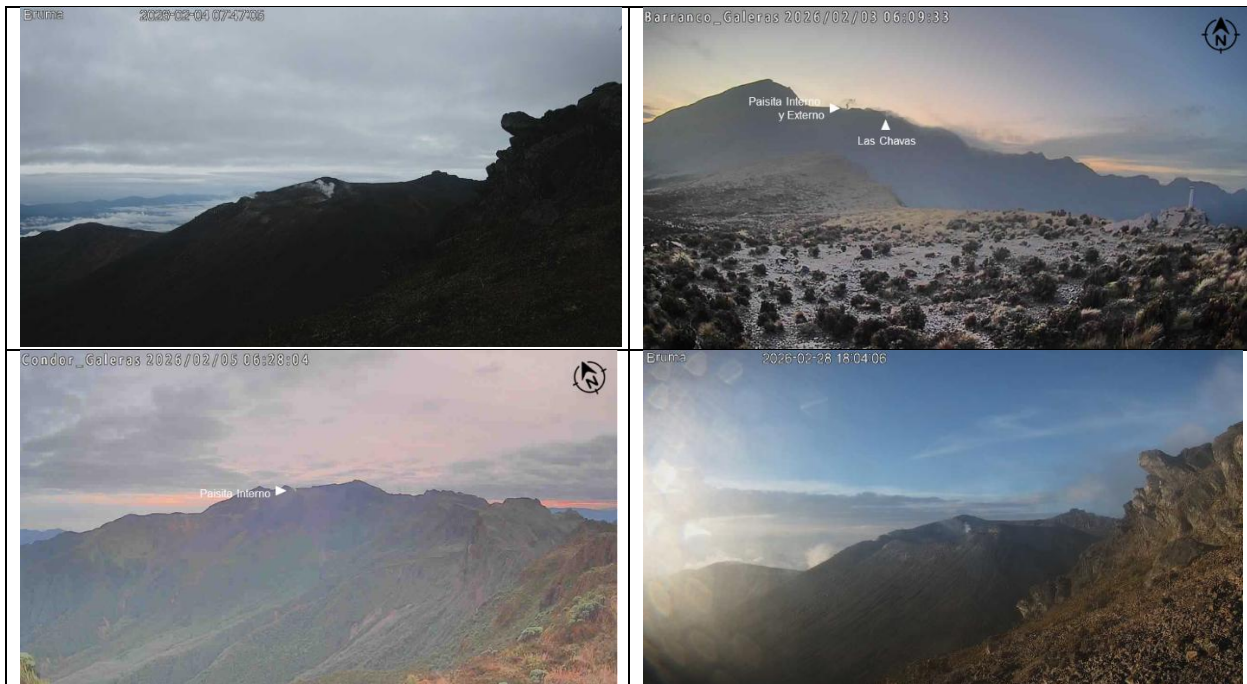


Figura 2A. Mapa interferométrico de la zona de influencia del Volcán Galeras. Nótese en colores amarillo a naranja sobre la cima del Volcán Galeras los sectores que muestran cambios menores en la deformación del terreno entre 2014 a 2026, demostrando una relativa estabilidad de la zona. Cuando los colores se muestran en naranja a rojo y de rojo a Vinotinto indicaría que se presentan cambios relevantes en la deformación del terreno.






# Boletín mensual

Figura 3. Fotografías capturadas por las distintas cámaras que forman parte de la red de vigilancia volcánica, en las que se observan emisiones de gas provenientes de varios focos en el cráter principal y campos fumarólicos del CVG para el mes de febrero del 2026.

De acuerdo con lo anteriormente expuesto y para el periodo evaluado:

La actividad volcánica se mantuvo en estado de alerta **Amarilla** : **volcán activo con cambios en el comportamiento del nivel base de los parámetros monitoreados y otras manifestaciones.**



## Complejo Volcánico Chiles Cerro Negro (CVCCN)



La actividad sísmica en el Complejo Volcánico Chiles - Cerro Negro (CVCCN), continuó mostrando el comportamiento fluctuante característico de los últimos años, con variaciones tanto en las tasas de ocurrencia, como de energía sísmica liberada. Para el mes de febrero de 2026, se registró una disminución en la ocurrencia de eventos del 72,4%. La energía sísmica liberada disminuyó

respecto a lo valorado en enero de 2026, con un total de  $2,41 \times 10^{14}$  ergios (Tabla 2) y el mayor aporte provino de los eventos tipo VT, asociados al fracturamiento de roca al interior del sistema volcánico como es característico para este complejo volcánico. (Figuras 4a, 4b y 4c).

En cuanto a la ocurrencia sísmica en febrero, se totalizó 4.022 eventos, disminuyendo en un 72,4% la ocurrencia frente a los 14.591 sismos clasificados para el mes de enero del 2026. Se registraron 3276 sismos de fractura (tipo VT), equivalentes al 81,5 % del total. El 188% lo aportó la sismicidad correspondiente a eventos asociados con movimiento de fluidos, tanto de fuente transitoria (LP), como persistente (TRE), con un total de 724 eventos (Tabla 2). Se registraron 21 sismos tipo HIB los cuales contribuyeron con el 0,5%. El pico de ocurrencia sísmica se registró el 1 de febrero con 342 eventos, 319 de ellos de tipo VT.

La mayoría de los sismos localizados en febrero tuvieron magnitudes locales menores a 2,0 (Figura 4d) y solo 5 eventos presentaron magnitudes superiores a este valor, con un máximo de 2,5 sin que se tuviera algún reporte de sismo sentido; de manera general, las profundidades de los eventos oscilaron entre de 1,1 km y 13,2 km respecto de la cima del volcán Chiles con referencia en los 4700 m s.n.m. (Figura 4e).

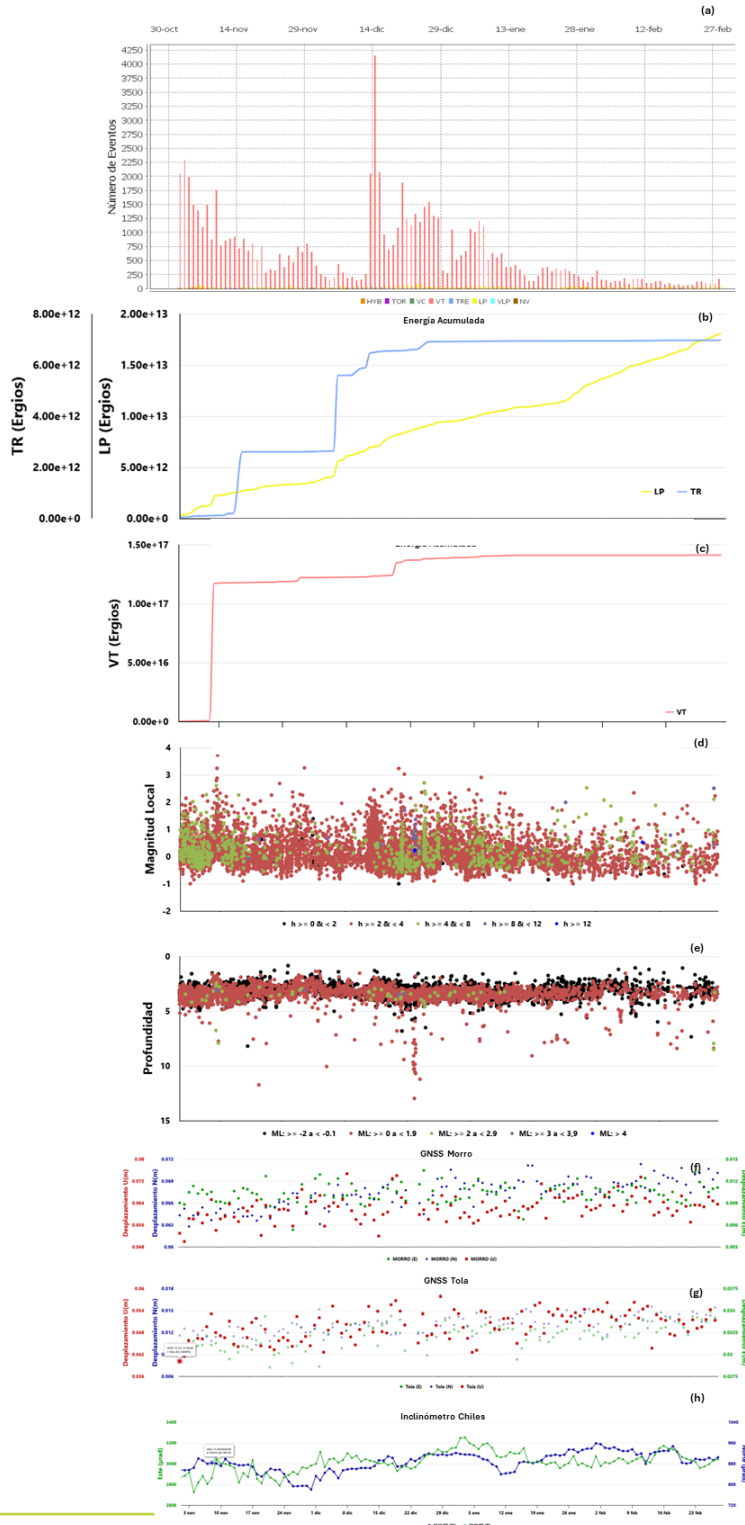


Figura 4. Gráfica multiparámetro de complejo volcánico Chiles Cerro Negro del 1 de noviembre del 2025 al 28 de febrero de 2026, a) histograma diario de ocurrencia sísmica b) energía liberada para los sismos LP, VLP, HIB y TR c) energía liberada para sismos VT calculada a partir de la magnitud d) magnitud local ML e) profundidad respecto a la cima de Chiles f) serie temporal del GNSS Morro g) serie temporal del GNSS La Tola h) serie temporal del inclinómetro electrónico Chiles.



La sismicidad de fractura se localizó en tres fuentes principales (Figura 5). La primera fuente, sobre la cima del volcán Chiles, al norte en la denominada zona de colapso; la segunda fuente se ubicó en inmediaciones de los dos volcanes, al oeste de Chiles y la tercera, fue localizada al sur del volcán Chiles llegando a las inmediaciones de la caldera de Potrerillos. Otros eventos se ubicaron al nororiente del volcán Chiles a distancias de hasta 13.6 km.

El evento de mayor magnitud estimada en 2,5 se registró el 28 de febrero y fue localizado a 7,9 km al Sur de la cima del volcán Chiles, con una profundidad de 8,5 km con referencia en los 4700 m s.n.m, sin reporte de sentido.

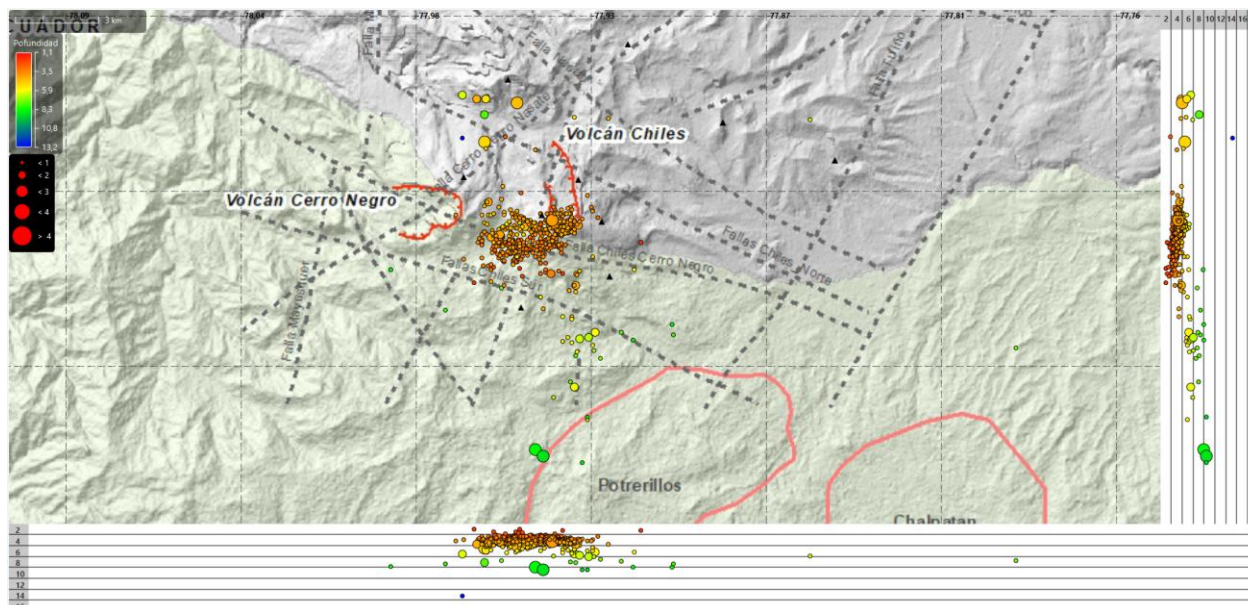


Figura 5. Mapa de la zona de influencia del CVCCN, los círculos representan los 1804 sismos localizados en febrero de 2026 (planta, perfiles norte-sur y este-oeste).

Continúan los procesos deformativos que se presentan en la corteza del CVCCN, cambios que se evidencian en las componentes horizontales y verticales de algunas de las estaciones geodésicas, principalmente las ubicadas en proximidades de la cima del volcán Chiles. A manera de ejemplo se muestran las series temporales de las estaciones GNSS Morro y La Tola, y los registros del inclinómetro electrónico Chiles (Figuras 4f, 4g y 4h).

La variación de las componentes en las diferentes estaciones está relacionada con la ubicación de los sensores y la respuesta de estos a la fuente que genera la deformación.



# Boletín mensual

Tabla 2. Información del número de sismos y energía liberada por tipo de eventos para el CVCCN en los meses de enero de 2026 y febrero de 2026.

Tipo de evento	ene-2026		feb-2026	
	No. Sismos	Energía Sísmica Liberada	No. Sismos	Energía Sísmica Liberada
VT	13883	$2,13 \times 10^{15}$	3276	$2,13 \times 10^{14}$
LP	701	$3,71 \times 10^{12}$	715	$4,85 \times 10^{12}$
TR	1	$2,83 \times 10^{10}$	9	$2,74 \times 10^{10}$
HIB	6	$2,59 \times 10^{13}$	21	$2,36 \times 10^{13}$
VLP	0		1	$9,81 \times 10^9$
<b>Total</b>	<b>14591</b>	<b><math>2,16 \times 10^{15}</math></b>	<b>4022</b>	<b><math>2,41 \times 10^{14}</math></b>

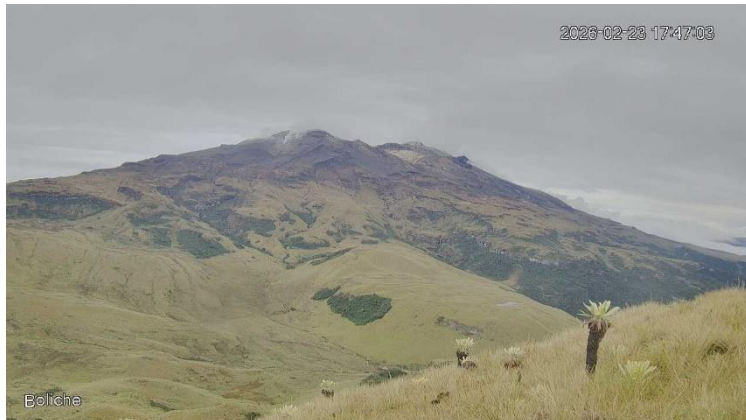
De acuerdo con lo anteriormente expuesto y para el periodo evaluado:

La actividad volcánica se mantuvo en estado de alerta **Amarilla** : **volcán activo con cambios en el comportamiento del nivel base de los parámetros monitoreados y otras manifestaciones.**



## Complejo Volcánico de Cumbal (CVC)

Para el mes de febrero y en comparación con el periodo anterior, en el Complejo Volcánico Cumbal (CVC), se presentó aumento en la ocurrencia sísmica y disminución en la energía liberada. En la Figura 6a se presenta la distribución diaria de los sismos desde noviembre de 2025 hasta febrero de 2026. Para febrero se tuvo un total de 6491 eventos (Tabla 3), de los cuales el 88% se asociaron con procesos de



fractura de roca (VT), seguidos por el 6,8% de sismos generados por movimiento de fluidos de fuente persistente; los eventos relacionados con movimiento de fluidos de fuente transitoria al interior de los conductos volcánicos con sismos aportaron con el 4,5%, 3 eventos tipo TO aportaron con el 0,05% y, finalmente, los eventos relacionados con fractura y posterior movimiento de fluidos el 0,6% con 37 eventos (Tabla 3).

El pico de ocurrencia sísmica se registró el 23 de febrero con 791 eventos, 771 de ellos de tipo VT. La energía sísmica liberada fue de  $4,23 \times 10^1$  ergios y el mayor aporte provino de los eventos TR con  $2,22 \times 10^{10}$  ergios, equivalente al 52% del total. (Figuras 6b y 6c).

En febrero de 2026 se localizaron 7 sismos VT, debido, principalmente, a los bajos niveles energéticos de los eventos (Figura 7). Los sismos fueron localizados de manera dispersa en varios sectores de la región de influencia del CVC, con profundidades hasta de 18 km respecto al cráter la Plazuela (aproximadamente 4700 m s.n.m). Los eventos más cercanos a la cima volcánica tuvieron profundidades entre 1 y 5 km. La magnitud local fluctuó entre 0,3 y 1,6, el sismo más energético se presentó el 9 de febrero con una magnitud de 1,6 y se ubicó a 6,3 km al occidente del CVC, con una profundidad de 4,9 km.

El comportamiento de los registros de deformación por medio de los inclinómetros electrónicos y estaciones GNSS, han mostrado tendencias estables en sus componentes (Figuras 6f y 6g).

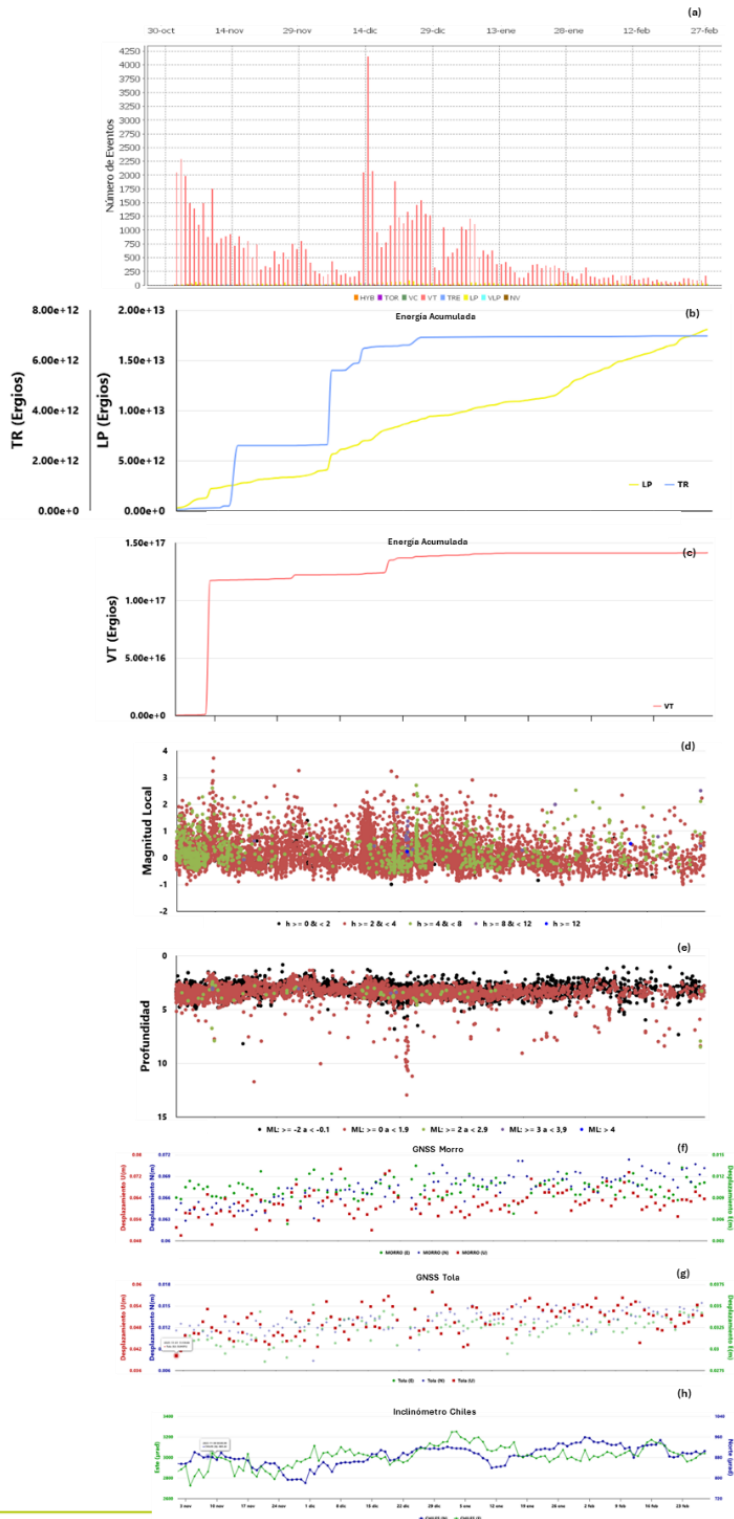


Figura 6. Gráfica multiparámetro del CVC del 1 de noviembre de 2025 al 28 de febrero de 2026, a) histograma de ocurrencia diaria de sismos por tipo, b) energía liberada para sismos de tipo LP, TO, TR e HIB, c) energía liberada para sismos tipo VT, d) magnitud local de eventos sísmicos, e) profundidad respecto a la cima de La Plazuela f) serie temporal del GNSS La Mesa g) componentes este y norte del inclinómetro Limones.



Tabla 3. Información del número de sismos y energía liberada por tipo de eventos para el CVC en los meses de enero de 2026 y febrero de 2026.

Tipo de evento	ene-2026		feb-2026	
	No. Sismos	Energía Sísmica Liberada	No. Sismos	Energía Sísmica Liberada
VT	4131	6,36 x10 <sup>10</sup>	5715	1,62 x10 <sup>10</sup>
LP	248	2,98 x10 <sup>9</sup>	294	1,72 x10 <sup>9</sup>
TO	5	4,61 x10 <sup>8</sup>	3	9,01 x10 <sup>8</sup>
TR	439	3,75 x10 <sup>10</sup>	442	2,22 x10 <sup>10</sup>
HIB	16	2,28 x10 <sup>8</sup>	37	1,27 x10 <sup>9</sup>
VLP	0			0
<b>Total</b>	<b>4839</b>	<b>1,05 x10<sup>11</sup></b>	<b>6491</b>	<b>4,23 x10<sup>10</sup></b>

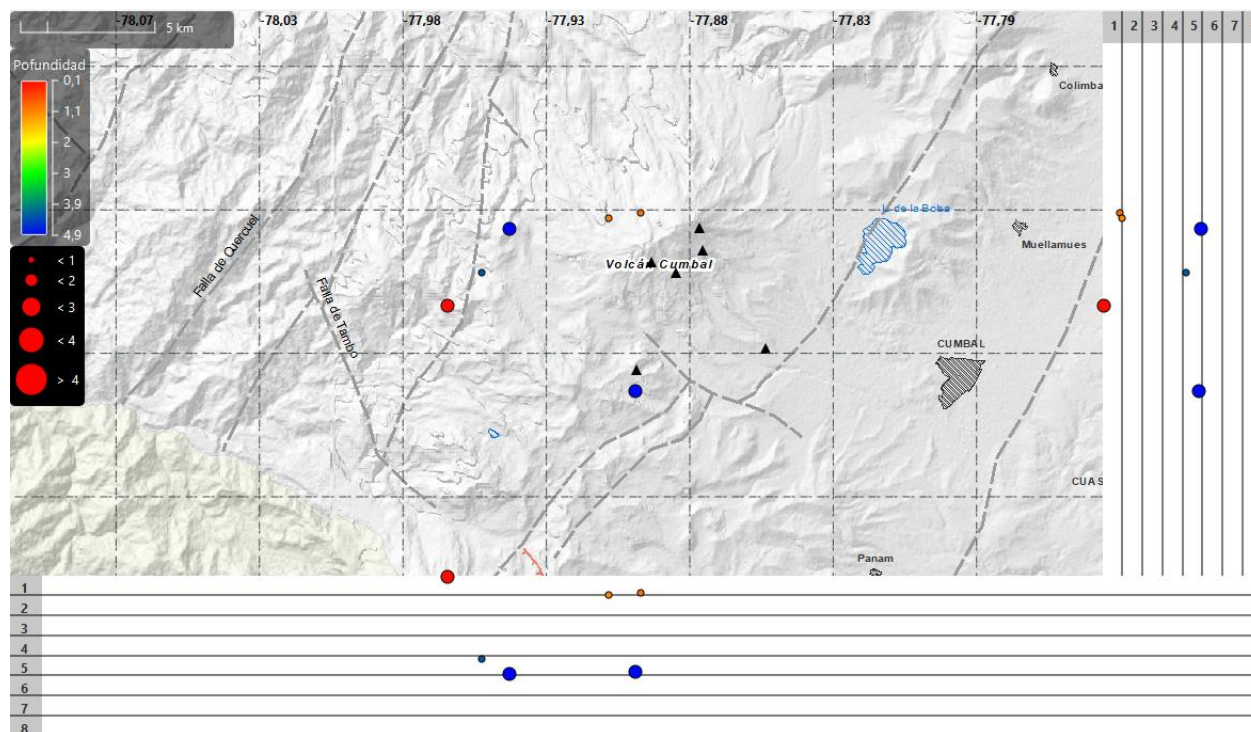


Figura 7. Mapa de la zona de influencia del CVC, representando con círculos los sismos localizados en febrero de 2026 (planta y perfiles norte-sur y este-oeste).

Para el mes de febrero se continúa evidenciando manifestaciones de actividad en superficie, observando pequeñas columnas de emisión de gases provenientes, principalmente, de los campos fumarólicos El verde ubicado al NE del CVC, Rastrojos y Boca Vieja, al SW del CVC. En



general, las emisiones de gases se caracterizaron por ser de color blanco, con poca altura y dispersión variables, de acuerdo con la velocidad y dirección del viento en la zona (Figura 8). Los demás parámetros geofísicos y geoquímicos del monitoreo volcánico no mostraron variaciones significativas.



**Figura 8.** Fotografías capturadas por algunas de las cámaras que forman parte de la red de vigilancia volcánica, en las que se observan emisiones de gas provenientes de varios focos del CVC en el mes de febrero del 2026.

De acuerdo con lo anteriormente expuesto y para el periodo evaluado:

La actividad volcánica se mantuvo en estado de alerta **Amarilla** : **volcán activo con cambios en el comportamiento del nivel base de los parámetros monitoreados y otras manifestaciones.**



## Volcán Azufral



Dentro de niveles muy bajos de ocurrencia y energía, en febrero de 2026 la sismicidad en el volcán Azufral aumentó respecto a lo registrado en enero de 2026, pasando de 21 eventos en diciembre a 45 sismos registrados en febrero (Figura 9a, Tabla 4), asociados con fractura de roca (tipo VT). El pico de eventos se presentó el 23 de febrero de 2026. La energía sísmica liberada aumentó en un 39,3% su valor

respecto al mes inmediatamente anterior, pasando de  $5,53 \times 10^{10}$  ergios a  $2,3 \times 10^{11}$  ergios (Figura 9b, Tabla 4). Todos los eventos presentaron magnitud local por debajo de 2 (Figura 9c).

Se localizaron 19 sismos de fractura en su mayoría de bajo nivel energético, ubicados de manera dispersa alrededor del edificio volcánico, con profundidades entre 1,2 y 9 km respecto a la cima (4000 m s.n.m.) (Figura 9d), distancias epicentrales fluctuantes entre 0,1 y 20,4 km respecto a la laguna cratérica. (Figura 9c y Figura 10). El evento más energético ocurrió el 3 de febrero y se localizó a 6,5 km hacia el norte de la laguna cratérica y profundidad de 9 km respecto a la cima.

La deformación del volcán Azufral, monitoreada a partir de estaciones receptoras de GNSS e inclinómetros electrónicos siguen indicando estabilidad en sus componentes. Como ejemplo, se presentan las series temporales de las componentes Norte, Este y Vertical del GNSS Lobo, e inclinómetro electrónico La Roca las cuales muestran estabilidad (Figuras 9e y 9f).

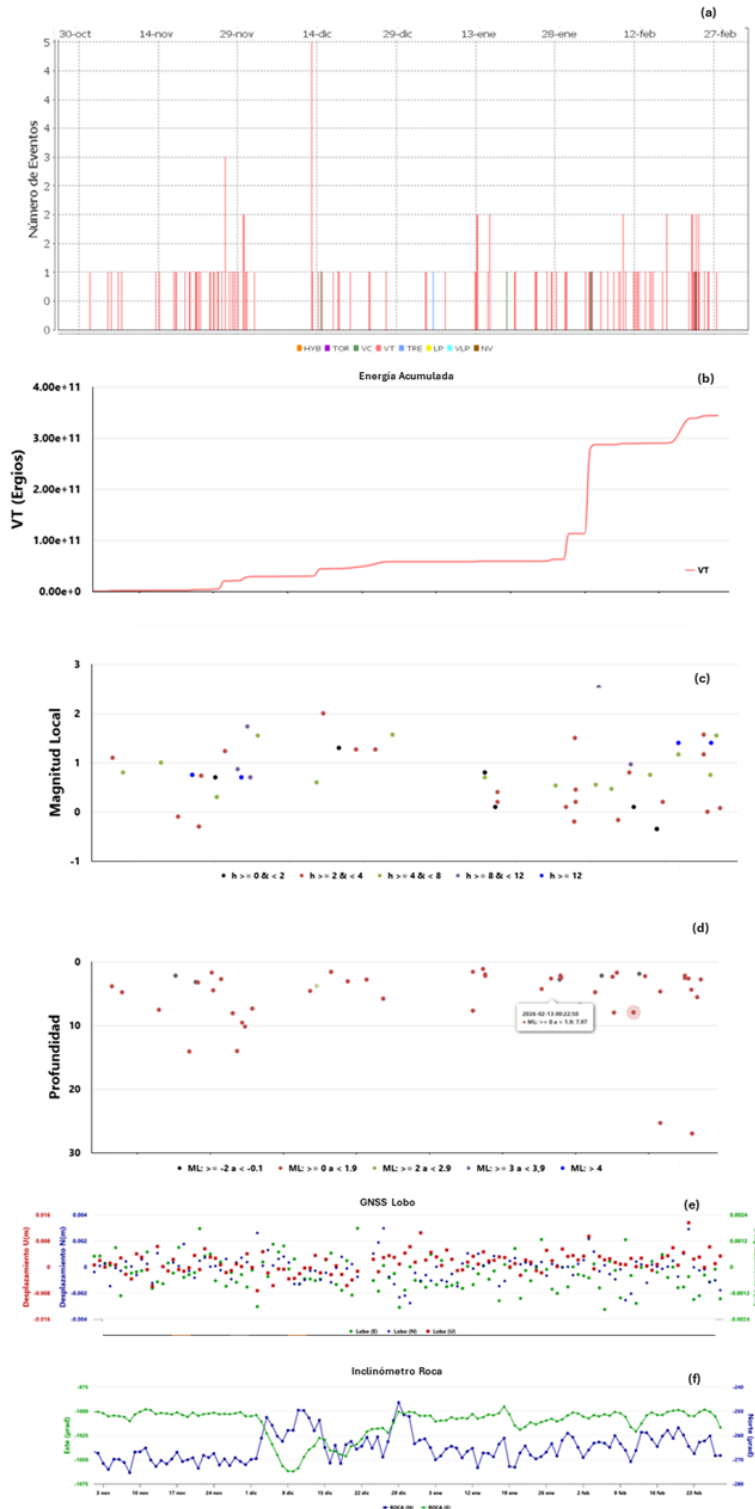


Figura 9. Gráfica multiparámetro del volcán Azufral del 1 de noviembre de 2025 al 28 de febrero de 2026, a) histograma de ocurrencia diaria de sismos por tipo, b) energía acumulada de eventos VT, c) magnitudes locales de los sismos, d) profundidad, e) GNSS de la estación Lobo con sus componentes norte, este y vertical y f) inclinómetro electrónico La Roca.



Tabla 4. Información del número de sismos y energía liberada por tipo de eventos para el volcán Azufral en los meses de enero de 2026 y febrero de 2026.

Tipo de evento	ene-2026		feb-2026	
	No. Sismos	Energía Sísmica Liberada	No. Sismos	Energía Sísmica Liberada
VT	20	$5,50 \times 10^{10}$	45	$2,30 \times 10^{11}$
TR	1	$3,56 \times 10^8$	0	
VC			1	$2,93 \times 10^8$
NPI			1	$9,34 \times 10^7$
<b>Total</b>	<b>21</b>	<b><math>5,53 \times 10^{10}</math></b>	<b>47</b>	<b><math>2,30 \times 10^{11}</math></b>

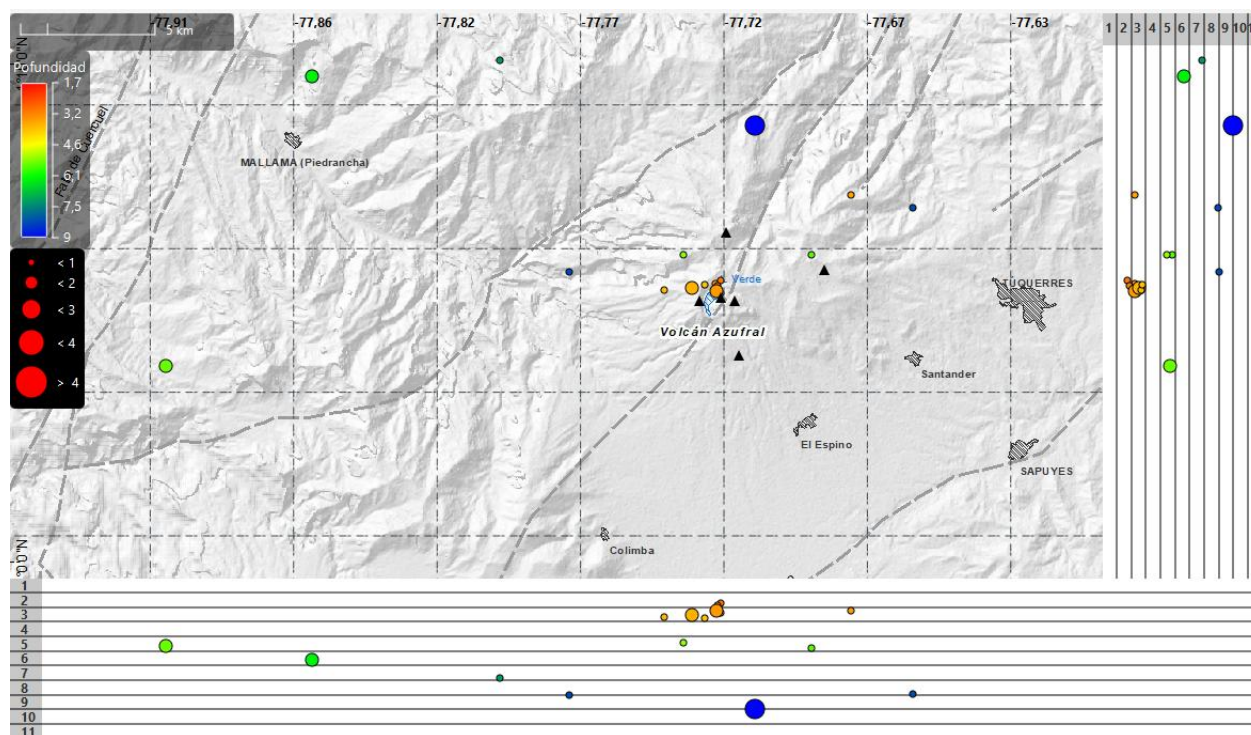


Figura 10. Mapa de la zona de influencia del volcán Azufral, representando en círculos los 19 sismos localizados en febrero de 2026 (planta y perfiles norte-sur y este-oeste).

Las cámaras de monitoreo permitieron tener el registro de pequeñas emisiones de gases provenientes principalmente de los campos fumarólicos del Domo Mallama. En general, las columnas de gas fueron de color blanco, baja altura y poca presión de salida (Figura 11).



# Boletín mensual



Figura 11. Registro de emisiones de gas desde el campo fumarólico del Domo Mallama presentadas en el mes de febrero de 2026.

De acuerdo con lo anteriormente expuesto y para el periodo evaluado:

La actividad volcánica se mantuvo en estado de alerta **Verde** ●: **volcán activo en reposo.**



## Volcanes Doña Juana y Las Ánimas

Los volcanes Doña Juana y Las Ánimas continuaron presentando niveles muy bajos de ocurrencia y energía sísmica liberada como un comportamiento característico de estos volcanes desde hace varios años de monitoreo instrumental (Tabla 5, Figuras 12a y 12b). Para febrero de 2026 se registraron 25 eventos evidenciando aumento en la ocurrencia de sismos respecto al mes anterior (4 eventos en enero), todos ellos asociados con procesos de fracturamiento de roca. Estos eventos liberaron una energía de  $1,68 \times 10^{13}$  ergios. (Tabla 5).



Se localizaron 10 sismos (Figura 12), que fueron ubicados de manera dispersa en las zonas de influencia de estos volcanes, con profundidades de 3,7 y 8,4 km respecto a la cima (aproximadamente 4200 m s.n.m.) (Figura 12d) y con magnitudes de 0,4 y 2 (Figura 12 c); se presentaron dos eventos de magnitud de 2 registrados el 20 y 21 de febrero, ubicándose a 3,8 y 4,1 km al noroeste del volcán Las Ánimas y profundidad de 7,8 y 8,4 km respecto a la cima de este volcán, respectivamente.

Con relación a los parámetros de monitoreo en deformación, se mantiene un comportamiento estable. En las Figuras 12e y 12f se puede observar los componentes del GNSS de la estación Ledezma donde se aprecia que conserva una tendencia sin mayores variaciones y de igual forma en el inclinómetro electrónico Páramo.

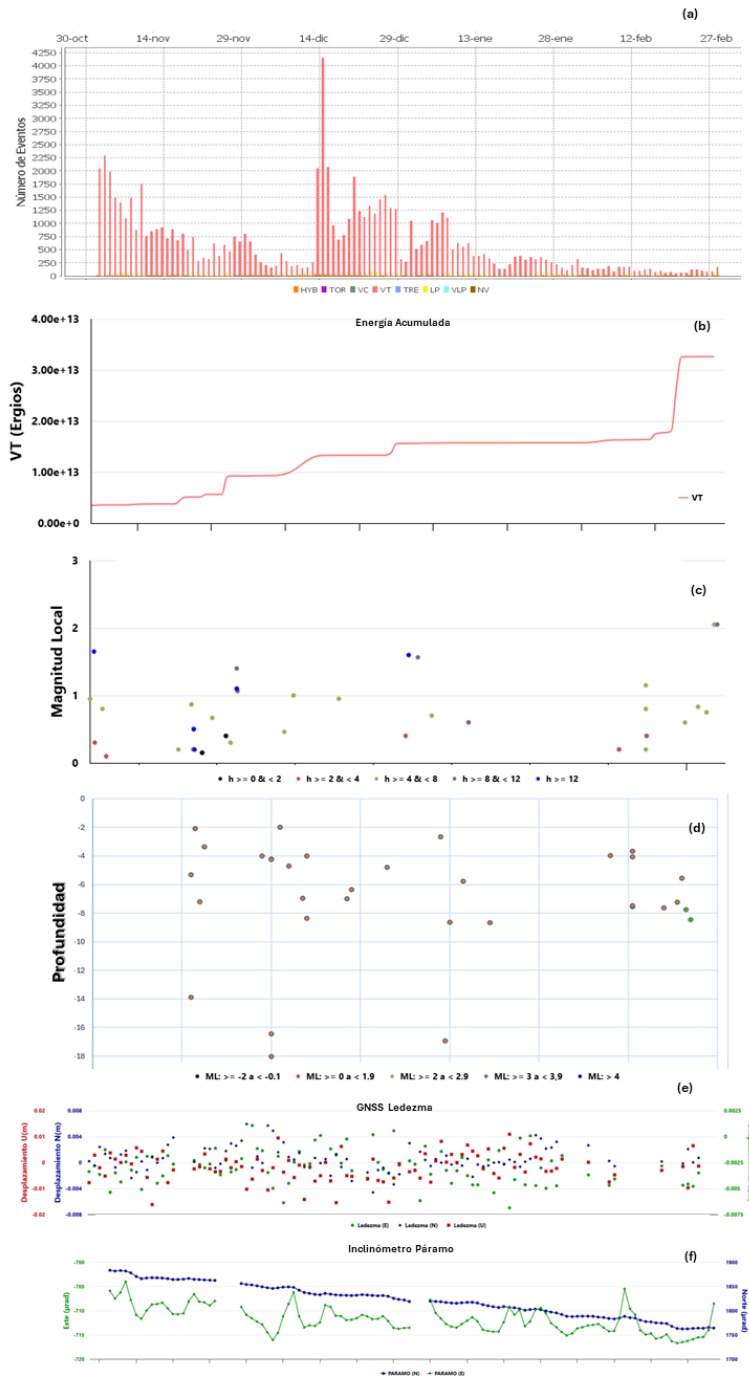


Figura 12. Gráfica multiparámetro de los volcanes Doña Juana y Las Ánimas del 1 de noviembre de 2025 al 28 de febrero de 2026, a) histograma de ocurrencia diaria de sismos por tipo, b) energía liberada para sismos de tipo VT, c) magnitudes locales de los sismos, d) profundidad, e) GNSS de la estación Ledezma con sus componentes norte, este y vertical y f) inclinómetro electrónico Páramo.



# Boletín mensual

Tabla 5. Información del número de sismos y energía liberada por tipo de eventos para los volcanes Doña Juana y Las Ánimas en los meses de enero de 2026 y febrero de 2026.

Tipo de evento	ene-2026		feb-2026	
	No. Sismos	Energía Sísmica Liberada	No. Sismos	Energía Sísmica Liberada
VT	4	$2,10 \times 10^{11}$	25	$1,68 \times 10^{13}$
<b>Total</b>	<b>4</b>	<b><math>2,10 \times 10^{11}</math></b>	<b>25</b>	<b><math>1,68 \times 10^{13}</math></b>

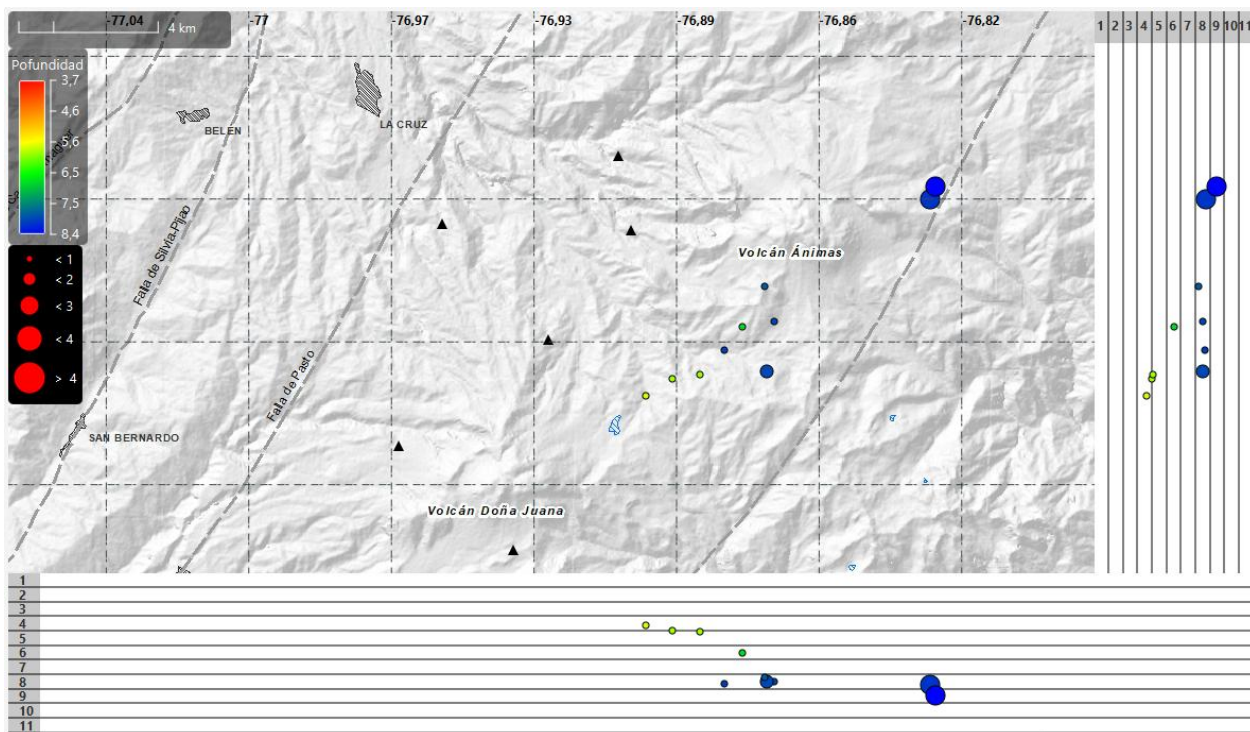


Figura 13. Mapa de la zona de influencia de los volcanes Doña Juana - Las Ánimas. Representando en círculos los 10 sismos VT localizados en febrero de 2026 (planta y perfiles norte-sur y este-oeste).

De acuerdo con lo anteriormente expuesto y para el periodo evaluado:

La actividad volcánica se mantuvo en estado de alerta **Verde** ●: volcán activo en reposo.



## Campo volcánico monogenético Guamuez – Sibundoy (Putumayo) (CVMGS)



El CVMGS está compuesto por varias estructuras volcánicas (22 totalizadas hasta la fecha) localizadas en el margen oriental de la Laguna de la Cocha entre los departamentos de Nariño y Putumayo.

En la Figura 14 se muestra un mapa con las estructuras volcánicas, fallas, fuentes termales y la red de monitoreo del CVMGS.

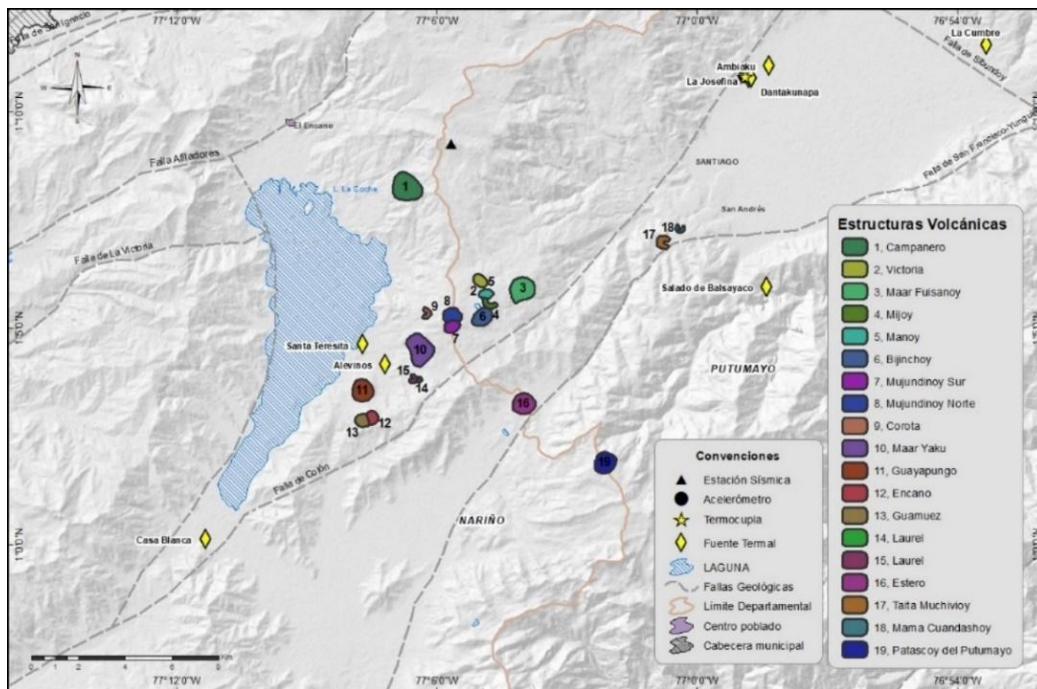


Figura 14. Mapa del CVMGS con las estructuras volcánicas (ver leyenda), la ubicación de las estaciones que conforman la red de monitoreo sísmico, temperatura y sitios de muestreo en fuentes termales.

Algunos de los volcanes que conforman el CVMGS son: Campanero, Victoria, Manoy, Mijoy, Mijoy, Bijinchoy, Fuisanoy, Mujundinoy, Corota, Yaku, Guayapungo, Encano, Guamuez, Laurel y Santa Teresita. Investigaciones recientes revelan que el sistema de fallas Algeciras influye en la



# Boletín mensual

distribución y alineación de estos volcanes, lo que sugiere que este sistema de fallas regula el ascenso del magma hacia la superficie, El sistema de fallas de Algeciras se caracteriza por un desplazamiento dextral predominante con orientación SW, NE. Este sistema incluye las fallas de Afiladores, San Francisco, Yunguillo, Pitalito y Algeciras (Rivera Lara, 2021).

En febrero de 2026 se registraron 9 sismos relacionados con procesos de fractura frágil en la roca que se continuaron catalogando como VT (Tabla 6, Figura 15a). En comparación con el mes anterior se presenta un aumento en la ocurrencia sísmica y en la energía liberada. (Tabla 6, Figura 15b). En la Figura 15c se muestra el sismo más energético se registró el 10 de febrero con una magnitud de 2,4 ubicado al nororiente de la laguna de La Cocha en el Municipio de Colon del Valle de Sibundoy (Figura 16) a 8 km de profundidad (nivel de referencia sobre los 2700 m s.n.m.).

Para la deformación, en este periodo no ocurrieron cambios. En las Figuras 15d y 15e se muestran las series temporales de las estaciones Bordoncillo y Guayapungo, cuyos GNSS indican estabilidad en sus tres componentes norte, este y vertical.

**Tabla 6. Información del número de sismos y energía liberada por tipo de eventos para los volcanes CVMGS en los meses de enero de 2026 y febrero de 2026.**

Tipo de evento	ene-2026		Feb-2026	
	No. Sismos	Energía Sísmica Liberada	No. Sismos	Energía Sísmica Liberada
VT	7	1,7x10 <sup>11</sup>	9	4,07x10 <sup>12</sup>
<b>Total</b>	<b>7</b>	<b>1,7x10<sup>11</sup></b>	<b>9</b>	<b>4,07x10<sup>12</sup></b>

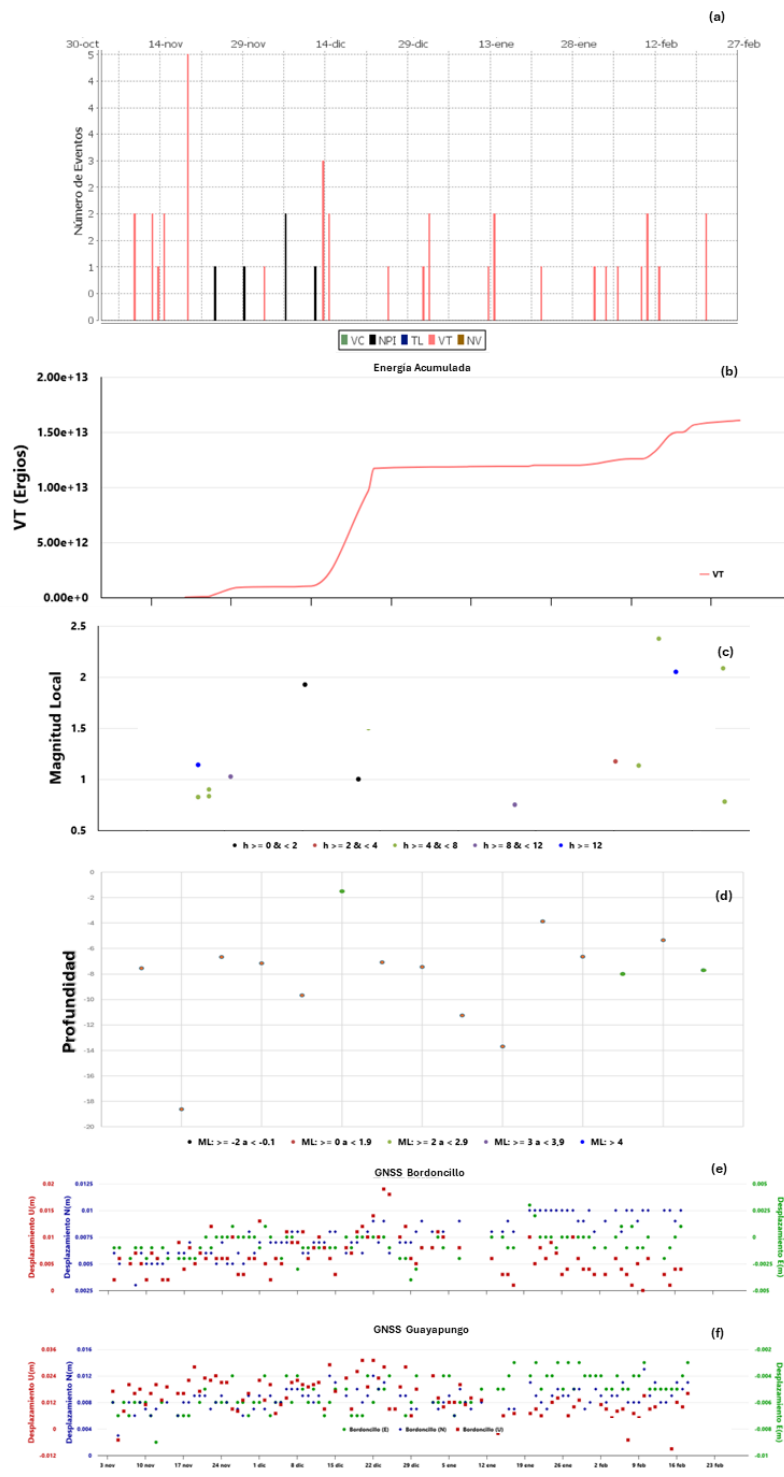


Figura 15. Gráfica multiparámetro del CVMGS del 1 de noviembre de 2025 al 28 de febrero de 2026, a) histograma de ocurrencia diaria de sismos por tipo, b) Energía liberada para sismos de tipo VT, c) magnitudes locales de los sismos, d) GNSS de la estación Bordoncillo con sus componentes norte, este y vertical y e) GNSS Guayapungo.

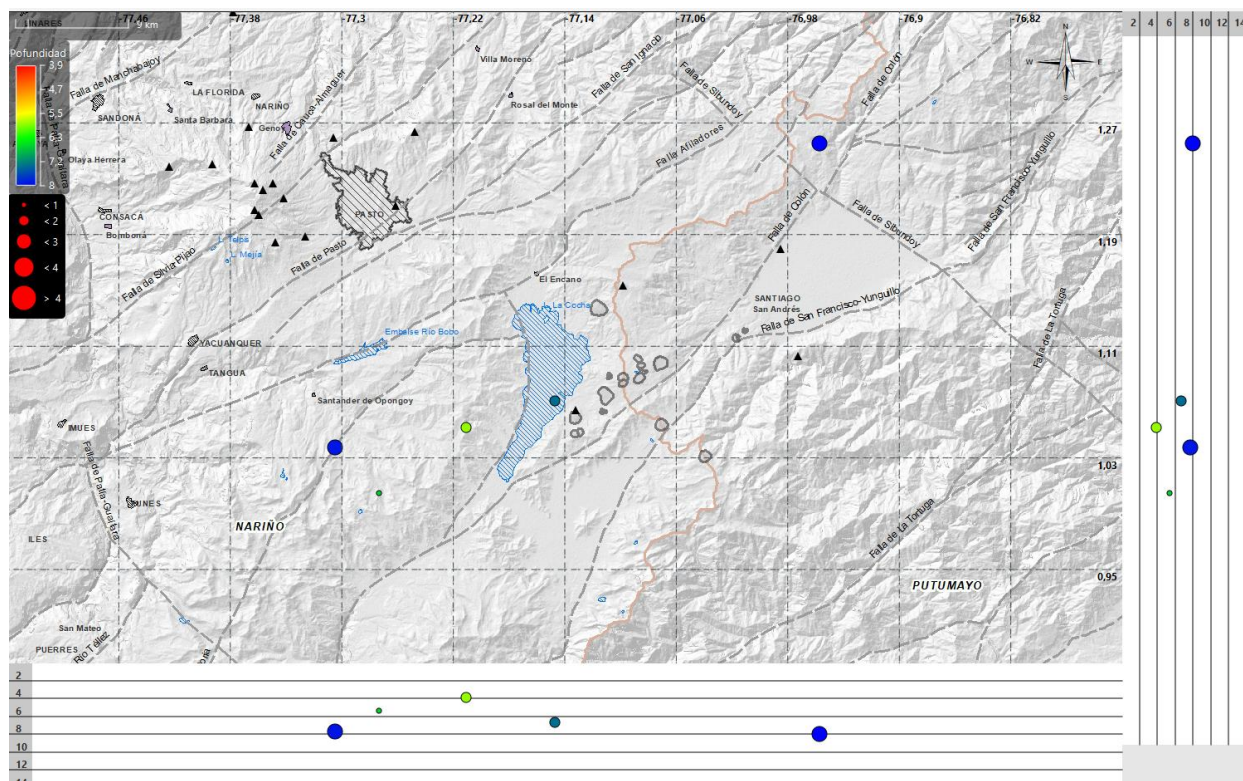


Figura 16. Mapa de la zona de influencia del CVMGS, representando en círculos los 6 sismos VT localizados en febrero de 2026 (planta y perfiles norte-sur y este-oeste).

El Servicio Geológico Colombiano realiza el monitoreo permanente de la actividad volcánica en el país y continuará informando de manera oportuna los cambios observados. Si quiere conocer más información, [visite este enlace](#).

Para más detalles sobre el esquema de clasificación de los estados de alerta, puede hacer [clic aquí](#).